

无线电专题译丛

电子束管部分

无线电工业技术编辑部

1965年2月

目 录

前 言

- 示波管到目前为止的进展 大戶 或也 (1)
論散射透鏡在示波管中的应用 B. A. Миллер (8)
用于电子束管的低功率阴极 山本弘 高梨幸雄 小池茂田 (13)
高分辨能力的电子束管——微光点管 K. Schlesinger (24)
高鑑別率的纖維光学电子束管 Вудли Роджерс (36)
利用纖維光学进行光子轉換的扫描轉換管 R.J. Doyle (43)
Videograph 管——高速印刷的新元件 R.W. Crews⁺ P. Rice⁺ (52)
測量电子束管熒光屏上光点尺寸的设备 H.B. Суворов (64)
Ю.Е. Карпешко
論所有阴极射綫管設計的基础——几何变换 H. Moss (66)
电子三角学——电子光学設計的一种新工具 K. Schlesinger (90)

示波管到目前为止的进展

大 戸 或 也*

电子学的迅速发展，要求测量技术也相应地发展。作为测量技术的一个领域，示波器的发展也是异常显著的。几年前，示波器仅能被用于定性的测量，而现在它已被用来定量的测量了。

本文仅介绍最近几年来示波管的发展概况，并且通过偏转系统，加速方式和荧光屏等问题的叙述，指出了今后发展的方向。

1. 示波管的主要問題

示波管的选择必须根据所测量的现象来进行。根据被观察的现象的速度及有无重复来决定荧光屏的类型和阳极电压。其次，根据测量的精确度确定荧光屏的大小。此外还应根据仪器的构造来确定偏转灵敏度。

在特殊情况下，即要一些现象同时进行比较的情况下，除上述要求外，还提出了另外的要求。为此，必须选择多束管。下面将依次地叙述这几个问题。

荧光屏

最近发展的示波管，在所使用的最后一级加速电压为6千伏以上的情况下，几乎都采用了金属化的荧光屏。与在电视接收管里一样，金属化的结果，使荧光屏的亮度提高了。例如，使用P2型荧光屏，在加速电压为10千伏的情况下，由于金属化的结果，可以将单次扫描的观察范围提高一个数量级即达到0.02微秒/厘米。

金属化的另一个作用是使荧光屏的电位稳定。没有金属化的荧光屏，由于没有和加速电极连接起来而成为“自由电极”。当电子流入射时，从它的表面会放出二次电子，从而使电位降低。正是由于这个电位的降低，使得荧光屏上的图形发生畸变。为了避免这种畸变，常常进行薄薄的金属化。在这种情况下，加速电压不应低于3千伏。在示波管中使用的各种荧光粉列于表1中。

近几年来，在发展荧光粉的新品种的同时，还要特别注意到荧光屏的发展，为了避免由于荧光屏内的光散射而产生的光点发散，应发展颗粒度小而发光效率又高的荧光粉。

在超高频示波管里，在频带很宽而且又要求大大提高灵敏度的困难情况下，由于偏转灵敏度可以用荧光屏上的光点的大小来表示，所以，光点的扩展显得特别重要，为了减少荧光屏内的光散射，透明荧光屏的研究是值得重视的，但是由于它的发光效率

* 东京芝浦电气公司示波管技术课

低，所以在实际的管子中还没有采用。

显然，熒光粉的余輝可以从 10^{-7} 秒到几分的数量級，但当要求更长的余輝时，仍然不能滿足。此时，利用直观式貯存管是适合的。在这方面，现在被广泛利用的絕緣柵网控制的管子和利用P10型熒光屏的貯存管都是值得重視的研究目标。

使熒光屏的亮度进一步增加，是不是只有增加电子束的加速电压或增加电子束的电流呢？前者直接使偏轉灵敏度下降，后者則是使光点变大。看来，今后的发展在很大程度上有賴于更高效率的熒光粉的研制。

表1 雷达和示波器用熒光粉

序号	化学成分	峰值波长 (埃)	熒光顏色	余輝	
				类别	激励停止后下降到最大值的10%的时间
P-1	Zn ₂ SiU ₄ :Hn	5250	綠	中	25毫秒
P-2	ZnS:Cu	5450	綠	中	40微秒
P-5	CaWO ₄	4150	藍	短	20微秒
P-7(蓝色) (黃色)	ZnS:Ag (Zn·Cd)S:Ag	4500 5600	藍 黃	中短 長	25微秒 0.15秒
P-11	ZnS:Ag	4600	藍	短	30微秒
P-12	(Zn·Mg)F ₂ :Mn	5900	橙黃	中长	250毫秒
P-13	MnSiO ₃ :Mn	6500	紅	中	50毫秒
P-14(蓝色) (橙黃色)	ZnS:Ag (Zn·Cd)S:Cu	4500 5950	藍 橙黃	中短 中	25微秒 5毫秒
P-15**	ZnO:Zn	3900 5050	綠	短 短	2.5微秒 2.5微秒
P-16	CaMg(SiO ₂) ₂ :Ce	3850	紫	极短	0.12微秒
P-20	(Zn·Cd)S:Ag	5600	黃	中短	0.2毫秒
P-23(蓝色) (黃色)	ZnS:Ag+(ZnCd)S: Ag	4600 5700	白	中短 中短	— —
P-24	ZnO:Zn	5100	綠	短	1.5微秒
P-25	CoSiO ₃ :Mn	6150	橙黃	中	40毫秒
P-31	ZnS:Cu	5300	綠	中	40微秒
*双峰					

加速方式

由于电子束通过偏轉系統沒有受到任何加速，所以，在偏轉以后施以加速电场使之加速的方法称为后加速。

在存在后加速的情况下，电子加速电场的作用使偏轉灵敏度稍有降低。常用的一級，多級和螺旋后加速方式示于图1中，在这些加速方式中的加速电极均是由涂于玻壳内表面的导电薄膜形成的。但是，由于在前級与后加速极之間形成的靜电透鏡的聚焦作用而使偏轉灵敏度降低，不管在哪一种情况下，偏轉灵敏度的降低都是由最后一級加速电压与最初級加速电压之比确定的。換言之，初級为1,000伏、末級为5,000伏与初級为2,000伏、末級为10,000伏的情况下灵敏度的降低是相同的。

其次，由于静电透镜的球面象差，图形的畸变增加了。

增加加速的级数，由于削弱了静电透镜的聚焦作用，所以，偏转灵敏度的降低变小了，图形的畸变也可以减少。螺旋后加速便是这种研究方案的进一步扩展，它是在最后一级与最初一级间在玻壳内壁上涂以阻抗为100兆欧到300兆欧的高阻抗导电层形成的。如图1所示。

由于加速电场从偏转系统起是缓慢上升的，偏转灵敏度的降低变小了，图形畸变也可以最小。现在的高灵敏度示波管几乎都采用了螺旋后加速的方式。

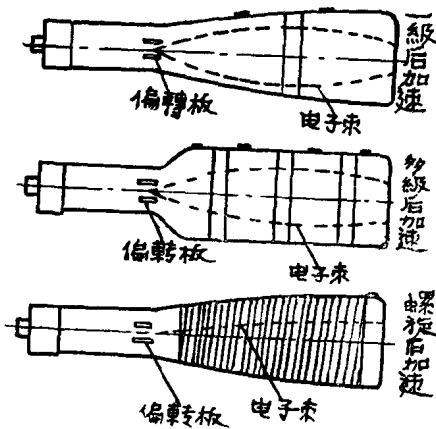


图1 加速方式的例子

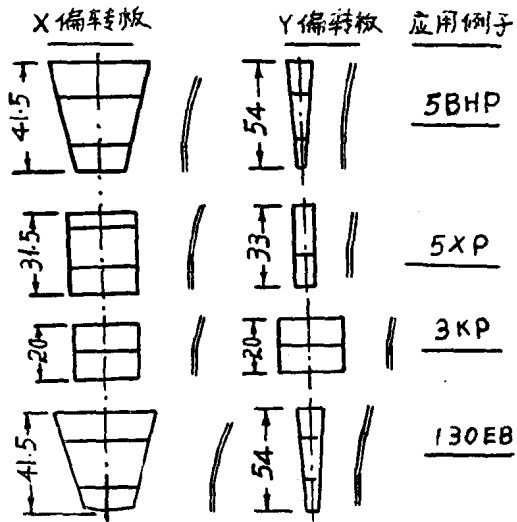


图2 现用的偏轉板

和电子束的聚焦問題一样，偏轉灵敏度的提高在示波管中也是特別重要的問題。

现在常用的偏轉板示于图2中，众所周知，偏轉灵敏度与偏轉板間的距离及加速电压成反比，与偏轉板的长度成正比。最近，根据常田的分析，给出最大偏轉灵敏度的偏轉电极可以由下式表之：

$$z = \frac{1}{\sqrt{3}} \int \frac{dy}{\sqrt{\left(\frac{y+g}{g}\right)^{v/v_0} - 1}}, \quad \frac{dy}{dz} = \sqrt{3} \sqrt{\left(\frac{y+g}{g}\right)^{v/v_0} - 1}$$

偏轉板間的距离受到通过偏轉系統的电子束的大小的限制，加速电压在10千伏以上时，电子束电流至少不少于20微安，因此，为了使电子束全部进入偏轉板距离最少需要1毫米以上。这便是偏轉板間距离的实际限制。

如果偏轉板过长，当电子束通过偏轉板时，将由于电子被偏轉板直接截获而限制了熒光屏的有效直径，在5吋的管子里，为了观察有效直径最少为40毫米。考慮到这个有效直径、管长、加速方式以及上面的两个分析表达式，就可以确定偏轉板的长度。考慮到这些因素，在管长50厘米，螺旋后加速，有效直径40毫米，则在加速电压为10千伏时，最大灵敏度为4伏/厘米。

进一步提高灵敏度的方法是在偏轉板的前面放一个放大透鏡——实际上是一个网——以扩大偏轉，实用的例子便是5 CLP型示波管，它的灵敏度提高到2伏/厘米。这

种方法的实质在于具有放大透鏡作用的网，使电子束在通过它的时候受到一个垂直于其运动方向的力，从而使偏轉增加。与此同时熒光屏上的光点也便显得模糊了。但在 5CLP 型示波管里这点已被克服。为了增加偏轉灵敏度，增加了偏轉板的长度。当然，这也便限制了高頻現象的觀測。

如果电子在通过偏轉板間的渡越時間內相位发生了返轉，那末，电子束的偏轉量在实际上便与輸入信号的波形不同了。

为了消除这点缺点，在偏轉板里使用低通滤波器，使得这个滤波器的輸入波的相位速度与电子束的速度一致，则由于电子的渡越時間而引起的偏轉誤差成为最小。实际上，是把偏轉板分割成 N 个集中参数的行波偏轉系統或分布参数的行波偏轉系統。在我們試制的管子中，偏轉板被分成 6 段，特性阻抗为 650 欧，从直流到 300 兆周都能有极为平坦的频率特性，而分布参数的行波偏轉系統根据二十世紀公司发表的資料已达 2,000 兆周。

图形畸变的校正

如前所述，目前的示波管已由定性地測量为主变为以定量地測量为主了。为此，业已敍述的加速方式的采用，偏轉灵敏度的提高和聚焦的改进等固然是很重要的。此外，熒光屏上偏轉灵敏度的綫性，x 和 y 軸的垂直度，梯形、枕形、桶形畸变也显得很重要了。我們把这些統称为图形的畸变。

图形畸变的产生有的是由于电子枪的装架，有的是由于所采用的后加速方式。而在双枪示波管的情况下，图象畸变的产生更是必然的。

例如，垂直度的誤差或双枪管的两个枪之間的平行度的誤差就是由电子枪的装架而产生的，此种誤差可以用減少电子枪及玻壳装架的誤差的方法来克服。作为一个特例，可以在如图 3 的玻壳外繞上几匝電線，利用可变的电流流过而产生的磁场来改变和調整 X 軸的角度。

另外，由于后加速而产生的枕形、桶形畸变可以用改变偏轉板的形状采用以相反的畸变来补偿的办法（图 4）。特别是在双束管时，如采用图 5 所示的补偿电极，图形畸变的补偿是可能的，我們最近改进的 130GB，便可以作为說明这种应用的一个例子。

在两个电子枪的不偏轉光点要在熒光屏的中心重合的双枪管里，电子枪应与熒光屏傾斜。各个电子枪形成的发光綫条如图 5. 1 所示。如果在屏的中央移动亮綫的位置，则他們的亮綫向相反的方向相互傾斜，对于这种畸变的校正，若在图中的 AA' 和 BB' 完全相等，则可以在短軸的方向上以 α 角切断 x 板，由于 b' 例的灵敏度比 a 例的灵敏度減少了，因此校正的目的也便达到了。

其他問題

使偏轉灵敏度提高，进一步以后加速的 5BHP 型示波管为例，则时间軸的偏轉角为 38 度时，发生偏轉畸变，在四周焦点容易变鈍。为了补救这点，首先，如图 6 所示电子束不是从圆形的而是从矩形的孔飞出。这种方法不但不会減少电子束电流而且由于在偏轉方向和与其相垂直的方向给出的长矩形可以校正偏轉畸变。

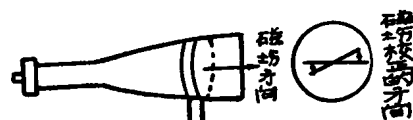


图 3 用磁场使偏轉綫校正

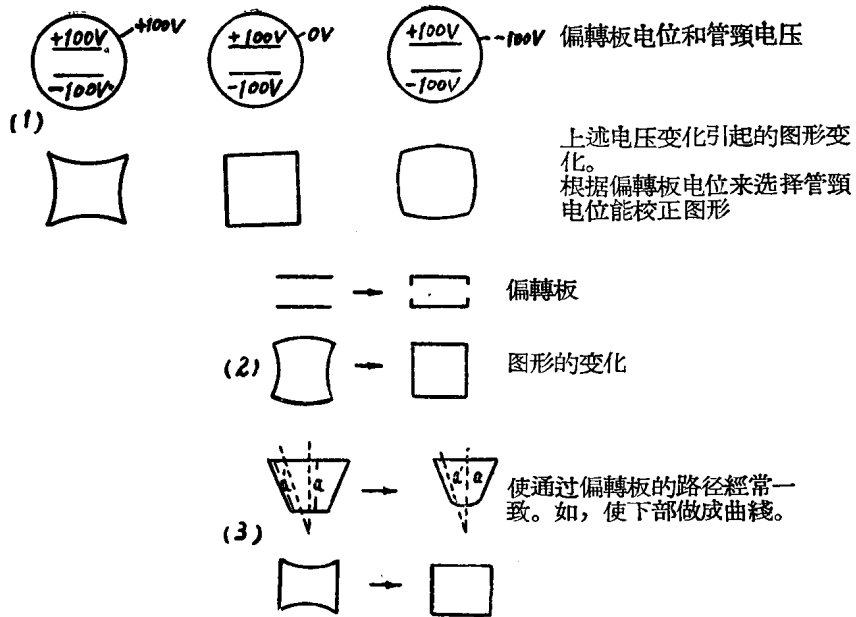


图 4

(1) 由管壁电位而引起的图形畸变的校正; (2) 由于偏轉板形状的改变而获得校正的例子; (3) 由于偏轉板形状的改变而获得校正的例子。

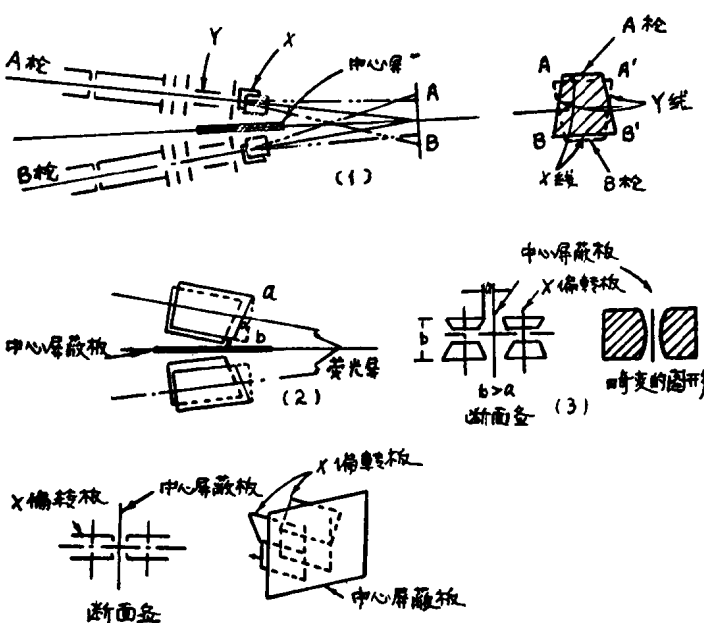


图 5 双枪管的图形畸变及其校正

(1) 图象畸变发生原理(A); (2) 考虑的X偏轉板; (3) 图象畸变发生原理(B); (4) 断面图。

表 2
发展的一些例子

名 称	最 大 尺 寸 全 长 (毫 米)	热 絲		第三阳极电压 E_{b3} 伏 最 大		第二阳极电压 E_{b2} 伏 最 大		第一阳极电压 E_{b1} 伏 最 大		定 值	
		量 大 部 分 (直 径) (毫 米)	电 压 (伏)	电 流 (安)	电 压 (伏)	电 流 (安)	电 压 (伏)	电 流 (安)	电 压 (伏)	电 流 (安)	电 压 (伏)
O3KP—	298	78	6.3	0.6	—	2500	1000	(250)	负	19.6—26.8	14.9—20.5
75UP—	350	78	6.3	0.15	7000	2000	800	(2000)	负	18.0—24.0	* 9.4—13.5
O130HP	435	136	6.3	0.6	6000	2600	1000	(2600)	负	10.5—14.1	7.1—9.4
O5XP	458	136	6.3	0.6	25000	2650	1550	(3650)	负	16.2—18.9	5.3—6.4
5BHP	474	136	6.3	0.6	12000	2000	800	(2000)	负	15.5—20.1	3.5—4.3
M7182	545	136	6.3	0.15	18000	3000	1000	(3000)	负	16.3—18.9	13.7—16.9
O5SP**—	474	136	6.3	0.6	7500	2500	1000	(2500)	负	12.3—16.0	3.5—5.3
130GB—	510	136	6.3	0.6	10000	2500	1000	(2500)	负	6	6

名 称	管 座	使 用 例				备 註			
		E_{b3} 伏	E_{b2} 伏	E_{b1} 伏	E_{e2} 伏	E_{eo} 伏	有 效 直 径 (毫 米)	偏 直 流 / 厘 米	转 Y 伏 直 流 / 厘 米
O3KP—	B11—66	—	2000	320—600	2000	-90最大	69	39.3—53.6	29.9—41.0
75UP—	B12—37特殊管針	3000	500	70—130	500	-27.5最大	50×40	9.0—12.0	4.7—6.8
O130HP	B12—37特殊管針	4900	2000	400—690	2000	-87.5最大	110	20.9—28.3	14.1—18.8
O5XP	B12—37 J1—25	8000	2000	362—695	2000	-75最大	110×40	42.8—52.4	13.8—16.4
5BHP	B12—37特殊管針	10000	1670	180—590	1670	-80最大	100×40	27.6—33.5	5.9—7.2
M7182	B12—37特殊管針	12000	2000	500	2000	-60最大	100×40	23.2	6.4
O5SP**—	B12—31 J1—25	3000	1500	272—521	1500	-56最大	100	24.4—29.9	20.8—25.6
130GB—	B12—37特殊管針	8000	2000	220—700	2000	-80最大	100×60	24.5—32.0	7.0—10.5

**双束管 ○比較品种

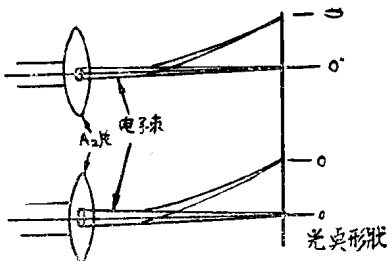


图 6 偏轉畸变的校正(由于第二阳极膜孔的形状改变而达到的光点畸变的校正)。

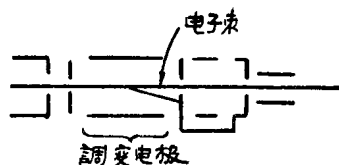
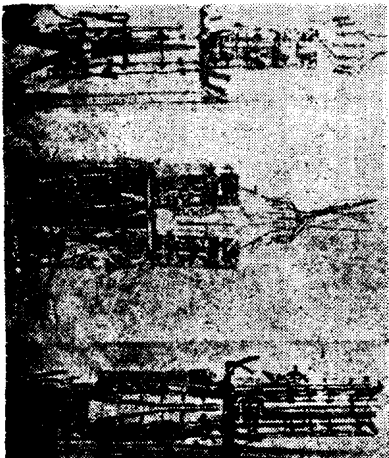


图 7 实用化的偏轉板



照片 1 被实际运用的电子枪
(1) 高灵敏度用; (2) 双枪高
灵敏度用; (3) 超高频用。



照片 2 螺旋后加速管

在設計使用半导体的示波器的情况下，与偏轉灵敏度一样，光点調变也 是一个問題。

作为示波器最好是使用調变偏轉板，如图 7 所示，这种方法是在第一栅极后加一对偏轉板，在它上面加上信号，对进入下一膜孔的电子流进行控制，这种方法已被实际应用了。用这种方法以約10伏的电压就能进行亮度調制。

2. 实用例子

根据前面一节敘述的那样进行考虑，现在的示波管已有相当大的改进。在表 2 中总括地列出的是最近发展的 3 吋和 5 吋的管子的例子，为了进行比較，将以前的管子亦載入表中。

胡昭光譯自电子科学(日)1962年第12卷, 第10期 P.22—25. 31

左光耀校

論散射透鏡在示波管中的应用

B. A. Миллер

建立宽頻示波器的严重阻碍之一，是电子束管要求太高的记录信号电平。

有关提高示波管的偏轉灵敏度問題一直受到很大的重視。最近以来利用散射电子透鏡的原理引起了人們的极大兴趣，这种透鏡被置于偏轉系統至管子熒光屏的空間里，它們是普通的浸沒透鏡或单透鏡，其中相应电场区域的聚集作用被放置在那里的細密柵网所抑除（图 1）。

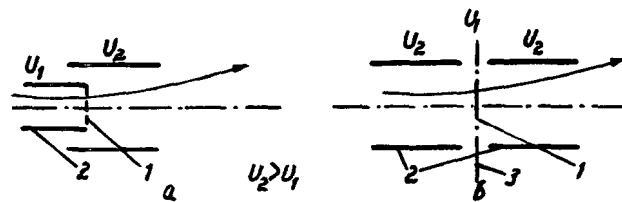


图 1 带透鏡的电子束管
a—浸沒散射透鏡； b—单散射透鏡（1—細密柵网，2—圓筒，3—膜孔）。

在期刊⁽¹⁻⁴⁾和国外电子束管制造厂的广告栏里，刊載了关于利用散射透鏡达到高偏轉灵敏度的显象管和示波管的报道。

以最普通的想法，从給定幅度的电信号的示波所得到的有益訊号量的观点出发，就可以对敍及的提高灵敏度的方法之效力作出評价。

显然，标志管子质量的訊号量不决定于光点的絕對偏移（这种偏移可用最简单的方法，例如，用示波图的光学放大法加以放大），而决定于光点的相对偏移量，即

$$V = \frac{H}{B}, \quad (1)$$

这里 H ——絕對偏移； B ——光点直径。

在攝录这类过程的情况下，放大比例可在已知范围内任意选择，这样，我們所敍及的想法則是毫无新奇的了。

讓我們來研究《理想的》电子光学系統，也就是說，在这样的系統里，因电子流偏轉引起的透鏡象差和图象誤差是不存在的。

电子束在管子的主聚焦透鏡与熒光屏之間的区域里的径迹示于图 2。

主透鏡 L 在熒光屏 S 上以小直径圆点的形式造成束交叉点的图象。透鏡的出口孔之半徑为 r 。电子流的偏轉中心位于 P 点。在偏轉中心和熒光屏之間放以散射透鏡 L_p 。

在不伤及論斷的統一性的情况下，可認為透鏡是很薄的。

图 2 上用虚线表示聚焦于屏上的电子流的边缘束以及无透镜 L_p 时的偏转电子流的主束(中心束)。

在散射透镜的作用下，束 PB 产生折射并落于 O 点上。确立主透镜 L 时须使图象与荧光屏相合。在有透镜 L_p 的情况下，与上述相对应的电子束用实线表示。

不难建立由于引入散射透镜而造成的偏转灵敏度与光点直径间的相对变化关系。

设主透镜前的呈象系统以及透镜的出口孔径都是不变的。

按照图 2，偏转灵敏度的受益量 η 等于：

$$\eta = \frac{OC}{OB} = \frac{\frac{l}{b} + 1}{\frac{l}{a} + 1} \quad (2)$$

此处 a ——从透镜 L_p 到偏转中心 P 的距离； b ——从透镜到点 P_1 (P 点的虚象) 的距离； l ——由 L_p 到荧光屏 S 的距离。

首先，设透镜 L_p 是单透镜，即其左右两侧的电位是相同的。

写出拉格朗日—格姆霍列茨 (Лагранж—Гельмголц) 方程

$$A \sqrt{U_k} \operatorname{tg} \alpha_k = B \sqrt{U_1} \operatorname{tg} \alpha_s. \quad (3)$$

这里 A——映象物体 (交叉点) 的尺寸； U_k ——交叉点中的电位； α_k ——交叉点处的电子束倾斜角； B——图象 (屏上光点) 的尺寸； U_1 ——屏电位； α_s ——荧光屏处的电子束倾斜角。

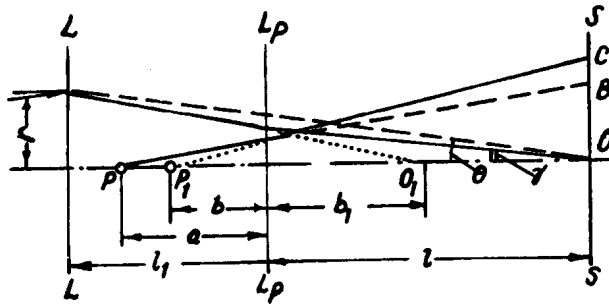


图 2 电子束在具有散射透镜的系统中的行程

随着散射透镜的引用， α_s 角由 θ 值减小至 γ ，因而将导致光点直径 B 的增大。根据 (3) 和图 2，B 的相对变化 (光点的扩大) 等于

$$\xi = \frac{\operatorname{tg} \theta}{\operatorname{tg} \gamma} = \frac{\frac{l_1}{b_1} + 1}{\frac{l_1}{l} + 1} \quad (4)$$

此处 l_1 ——由主透镜 L 到散射透镜 L_p 的距离； b_1 ——由 L_p 到点 O_1 (O 点的虚象) 的距离。

对于透镜 L_p 可确立关系式

$$\frac{1}{f} = \frac{1}{a} - \frac{1}{b} = \frac{1}{l} - \frac{1}{b_1}, \quad (5)$$

此处 f 是焦距。

从(2)、(4)和(5)可得

$$\zeta = \frac{\eta \left(\frac{l}{a} + 1 \right) - \frac{l}{a} + \frac{l}{l_1}}{\frac{l}{l_1} + 1} \quad (6)$$

由此

$$\zeta - \eta = \frac{\frac{l_1}{a} - 1}{\frac{l_1}{l} + 1} (\eta - 1). \quad (7)$$

在此种情况下 $\eta > 1$ 。此外，经常是 $l_1 > a$ （参看图2），因为实际上偏转中心是不可能与聚焦透镜相重合的。因而 $\zeta - \eta > 0$ 或者 $\zeta > \eta$ 。

在引入透镜后，相对偏移 $V = H/B$ 取值为 $V_1 = H_1/B_1$ ，且 $V_1 = \frac{\eta}{\zeta} V$ 。这意味着 $V_1 < V$ 。

由此看来，利用单散射透镜可导致讯号量的降低。

现在让我们来研究浸没散射透镜的情况。随着这种透镜的引入，屏处电位由 U_1 值（从透镜的左侧）升高到 U_2 。

需要指出，提高屏处电位会导致熒光屏发光亮度的相应增加。因此，浸没透镜比起单透镜来要更好些。

暂且不谈亮度问题，让我们来确立类似前者的关系式。

基于以(3)代(4)可得：

$$\zeta = \sqrt{\frac{U_1}{U_2}} \cdot \frac{\frac{l_1}{b_1} + 1}{\frac{l_1}{l} + 1}. \quad (8)$$

现在公式(5)可取为形式

$$\frac{f_a}{b} - \frac{f_b}{a} = \frac{f_b}{b_1} - \frac{f_a}{l} \quad (9)$$

这里 f_a 与 f_b ——浸没透镜的焦距。考虑到

$$\frac{f_b}{f_a} = \frac{\sqrt{U_1}}{\sqrt{U_2}},$$

此处 $\sqrt{U_1}$ 和 $\sqrt{U_2}$ ——透镜左右两侧的电子光学折射指数，从(2)、(8)和(9)可得

$$\zeta \sqrt{\frac{U_2}{U_1}} = \frac{\eta \sqrt{\frac{U_2}{U_1}} \left(\frac{l}{a} + 1 \right) - \frac{l}{a} + \frac{l}{l_1}}{\frac{l}{l_1} + 1}. \quad (10)$$

最后一表达式与(6)类同，但 ζ 与 η 乘上了 $\sqrt{\frac{U_2}{U_1}}$ 。继而，

$$\zeta - \eta = \sqrt{\frac{U_1}{U_2}} - \frac{\frac{l_1}{a} - 1}{\frac{l_1}{l} + 1} \left(\sqrt{\frac{U_2}{U_1}} \eta - 1 \right). \quad (11)$$

由于 $\sqrt{\frac{U_2}{U_1}} > 1$ ，那么和以前一样， $\zeta > \eta$ 。在这种情况下差值 $\zeta - \eta$ (对于给定的数值 η 、 a 、 l 及 l_1)要大于单透镜情况下的值。

正如已指出的，浸没透镜比起单透镜具有亮度增益的优点，这与讯号量的某些增加是等效的。

由此看来，将浸没散射透镜与浸没聚集透镜做一比较是有益的。后者早已应用于电子后加速的电子束管中。

在图3上示有聚集透镜情况里的电子束行程。这里所采用的符号与图2相同。

由于在实际管子中透镜左右的束(起自P点)与轴之倾斜角具有一样的符号，故透镜给出的是P点的虚象。

对于 η 与 ζ 所得到的公式与(2)和(8)相同，此外，

$$\frac{f_a}{a} - \frac{f}{b} = \frac{f_b}{l} - \frac{f_a}{b_1} \quad (12)$$

以及

$$\frac{f_b}{f_a} = \sqrt{\frac{U_2}{U_1}}. \quad (13)$$

由(2)、(8)、(12)和(13)可得到与(10)相一致的表达式。但是，现在 $\eta < 1$ ，因此，从(11)可推论出，在给定的比值 U_2/U_1 的条件下， η/ζ 比在散射透镜情况下要大。

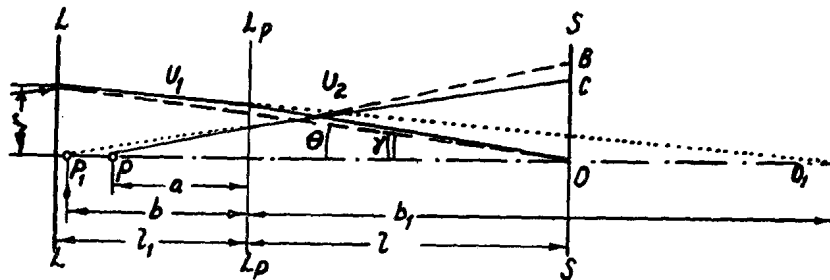


图3 在具有聚焦浸没透镜系统中的电子束行程

这意味着，具有电子后加速的一般系統要比具有散射透鏡的系統来得好。后一种情况之所以加重，是由于为了形成散射透鏡不得不应用細密的柵网，它挡住了电子的道路，因而引起图象对比度的降低（为二次发射所致）和亮度的降低。

基于上述看法可以做出如下的結論：

1. 为了提高电子束管的偏轉灵敏度而应用单散射透鏡是不上算的，因为它能导致示波中所获訊号量的降低。
2. 通常应用于电子后加速的电子束管中的浸沒散射透鏡要比聚集透鏡的效用小些，因为在同样的熒光屏发光亮度的增益下，前一种透鏡所給的訊号量要小些。

参 考 文 献

- [1] W. Parker, P. Closba, H. Frihart, IRE Convent. Rec., 1960, 8, 7, 167.
- [2] P. Dolon, W. Niklas, J. Brit. Instn Radio Engrs, 1960, 20, 12, 911.
- [3] Electr. Equipment News, 1961, 3, 4, 27.
- [4] K. Schlessinger, Proc. I. R. E., 1961, 49, 10, 1958.

郑玉麟 譯自“Радиотехника и Электроника”
1963, V, 第875—878頁。

用于电子束管的低功率阴极

山本 弘 高梨幸雄 小池茂田

(1) 緒 言

近几年来，由于晶体管的出现，各种电子仪器已有“便攜化”的傾向。因此，使用电子束管的設備用电池电源的可能性也随之增加了。这些設備主要的有便攜式的電視接收机、示波器和室內電視攝象机等等。

在这种情况下，減少设备的功率消耗对于延长电池的寿命是很必要的。在设备消耗的功率中，沒有比用于电子束管阴极加热的功率更大的了。因此，总希望減少热子的功率消耗，这对于防止设备的溫度上升和晶体管的工作都是有利的。但是，在电子束管中使用的上述阴极的加热功率不能完全为零。然而，在保証从阴极支取的电流不少于现在的阴极的条件下，減少加热功率仍然是可能的。为了滿足这个时代的要求，作者在大約三年的时间内对此进行了研究，取得了試驗結果。成功地減少了加热功率而完全沒有改变电子束管的一切特性，做出了几种試制品。其中有几种去年已正式投入生产并裝入电子束管中应用，其余几种的生产准备工作，亦业已完成。

到目前为止所完成的最小功率是0.3瓦，为原来的1/13。进一步減小加热功率的工作正在进行研究。这里发表的是这些阴极的特性的概略情况，请予指正。

(2) 設計的目标

电子束管阴极的特性，重要的有三个：

- 1) 溫度；
- 2) 溫度上升的速度；
- 3) 振动噪声。

根据这些特性訂出了大致的目标进行試制。

2.1. 阴极溫度

如果減少加热功率，往往也会減少阴极的溫度。要确定允許的溫度下限是一个非常困难的問題。但对于使用氧化物阴极的各种电子管，在正常的工作电压下，測量出的阴极溫度均在 1000°K 到 1180°K 左右的范围内（用光測高溫計以 $\epsilon_{\lambda} = 0.25$ 进行修正）。

显然，阴极的溫度必然是由該种电子管阴极的电流的大小和結構所确定的阴极溫度的分布及柵发射而确定的。但在阴极里仍然存在着有相当大的灵活性的品种。在电子束管的场合下，阴极电流最大为100微安，由于阴极的发射面积在1平方毫米以下，所以要取出大約 $10-100$ 毫安/厘米²的电流，这就电流密度而言是属于相当大的类型了。因而，

阴极溫度太低是不好的，最少也必須在 1050°K 以上。

2.2. 阴极溫度上升的速度

对于一般的电子管，总希望在接通后馬上就达到正常工作时的阴极溫度。使用晶体管的設備，除了电子束管以外，从合上电源到工作几乎没有時間的延迟，因此，这一点是特別容易引人注目的。一般地說，由于一般的电子束管較收訊管在阴极构造上的特殊性，总有阴极溫度上升慢的傾向。至少现在的阴极較以往的阴极，溫度上升的速度加快了。如果可能的話，这种办法也可以用于一般的电子管中。

2.3. 振动噪声

由于管子是用于便攜式的設備中，必須研究經受过分的振动和冲击的可能性。即使在这样的环境里使用，为了得到比以往的阴极有更为良好的結果，还必須进一步減少振动噪声。

再則，对于热子电压，根据用途一般均为6.3伏和12.6伏两种。特別在加热功率小的場合下，如果仍然拘泥于这个加热电压的話，則加热电流将非常小，热子的操作极不方便，而且还增加了断綫的危险。因此，如不考慮实用性，則可选择适当的数值。

(3) 一般构造

为了达到前面所提到的特性指标，試驗是按照表1的基本想法来进行的。滿足各种特性指标的具体办法有几种，但所采取的办法总是希望同时滿足各种特性指标。其次，除了在特性方面滿足要求以外，还必須注意到所采用的結構要尽可能适合大量生产。研究了这些情况，根据我們所想出的方案进行了試驗。由試驗的結果决定了如图3那样的結構。这种結構的特点是：阴极是双重圓筒式的，热效率高的原因在于，双重圓筒里，內筒的热輻射少了，內筒和外筒做成三点接触的，阴极的引綫亦減少了自溫度低的外筒而传出的热传导損失。由于热子具有伸入內筒深处的結構，因此向內筒的外面直接散逸的輻射热少了，热子的热效率也变得良好。其次，在热子加热的初期，对阴极溫度的上升起主要作用的是內筒的热容量，因此这个內筒比以往的阴极筒远远地來得輕。作为克服振动噪声的措施，在吸收外部振动方面，由于阴极的引出綫从外筒上引出，而且外筒和瓷块所占据的空間的溫度非常低，在热子加热时，由于热膨胀而产生的差異已达到极少。再有，由于內筒和外筒是完全熔結起来的，估計也不会有什么問題。这里，就6.3伏，300毫安即功率为1.9瓦的热子阴极首先进行了試制，在进行各种測量的同时进行了寿命試驗，特性极好，在3000小时时发射特性几乎沒有变化。因此，这种結構的阴极是完全可以信任的。为了进一步改进对各种材料及尺寸都进行了仔細的研究，完全可以滿足这种阴极在制造上的要求。之后，又从試驗所得到的材料出发，加上进一步提高热效率的方法，并試圖減少热子的加热功率。在这个期間內反复进行了

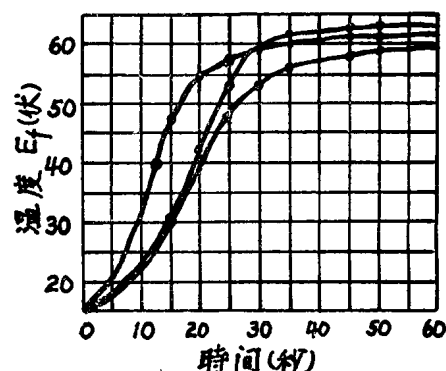


图1 接通后阴极溫度上升的情况

各种强度試驗和寿命試驗，克服了在这个过程中出现的一个一个的缺点。将其利用于下面的小功率阴极的場合中，使試制工作逐渐接近于完整。

表1 設計目標及達到此目標的方法

特 性 目 标		措 施	方 法
溫 度	提 高	提高热效率	減少热輻射損失； 減少热傳導損失； 提高热子的热效率。
溫度上升	提 早	減少热容量	減輕阴极和热子的重量
振动噪声	減 小	減少阴极与第一栅之間的距离的变化	吸收外部振动，支持部分的低溫化和 牢固化

(4) 確定最佳条件的試驗

在期待这种阴极分別具有前面所提到的三个特性的同时，还必須制作綜合特性良好的阴极。考慮到影响該阴极这些特性的主要因素，大致可以分成几类。由于为此而进行的一般試驗极多，以至于达到不可能的程度，从而对于最佳条件的綜合評定发生了困难。为此，制訂了用正交排列的試驗計劃，就进行試驗而得的各种特性值进行分析，闡明这些特性值与影响因素之間的因果关系。綜合最佳特性，研究获得最好热效率的方法。关于特性指标，至少必須有前面的三个即阴极溫度、溫度上升速度和振动噪声。这个試驗由于是在“試驗管”內进行的，因此，仅就噪声以外的两个特性进行了测量。根据这些分析結果，选取2—3种經适当考虑的組合結構，进一步用这些阴极制作电子束管，进行振动噪声的测量，得出最少的噪声。

阴极溫度：在正常的电压下，用光測高溫計求得的溫度在 $\varepsilon_\lambda = 0.25$ 处的修正值即是。

溫度上升的速度：在热子上加上額定电压后，經某一時間后的阴极溫度用与此对应的阴极稳定状态的热子电压来表示。把接通后的時間和溫度（用稳定状态的热子电压表示）的关系示于图1中，接通后20秒和30秒后的溫度为溫度上升速度。

由此可见，电压越高，溫度上升速度也越大。

在这个試驗里所取的因素及水平均示于表2中。

表2 因 素 和 水 平

因 素	水 平	因 素	水 平
A	3	E	2
B	2	F	2
C	2	G	2
D	3	H	2

用 $L^{16}(2^{15})$ 的正交排列分配这些因素，对于阴极的溫度，根据以往的經驗，几乎没有考虑相互作用，因此，专为检验的設計沒有进行。測量用的試驗管每种作三种，在試驗中由于损坏和其他因素而不能进行測量的情况下，作未測值处理。根据这个分配的